

## การศึกษาผลของรูปร่างของชิ้นวัสดุต่อการขนถ่ายด้วยอากาศ A Study of Shape Factor Effect of Particles on Pneumatic Conveying

เชิดพันธ์ วิฑูราภรณ์<sup>1</sup>, ยุทธนา ทองเงินดี<sup>2</sup>

<sup>1</sup>ภาควิชาวิศวกรรมเครื่องกล คณะวิศวกรรมศาสตร์ จุฬาลงกรณ์มหาวิทยาลัย

ถ. พญาไท เขตปทุมวัน กรุงเทพฯ 10330

โทร 66(2)2186622, โทรสาร 66(2)2522889, E-Mail: fmecvt@kankrow.eng.chula.ac.th

<sup>2</sup>บริษัทเจเนอรัลมอเตอร์ประเทศไทย

นิคมอุตสาหกรรมอีสเทิร์นซีบอร์ด ต.ปลวกแดง อ.ปลวกแดง ระยอง 21140

โทร 66(38)954999 E-Mail:yutana.songngendee@gm.co.th

Chirdpun Vitoorapom<sup>1</sup>, Yutana Song-Ngendee<sup>2</sup>

Department of Mechanical Engineering, Faculty of Engineering, Chulalongkorn University,

Phayathai Rd., Phatumwan, Bangkok 10330 Thailand

<sup>2</sup>General Motor Thailand Co.Ltd.

Eastern Seaboard Industrial Estate, Pourkdaeng, Rayong 21140 Thailand

### บทคัดย่อ

งานวิจัยนี้เป็นการศึกษาพฤติกรรมการขนถ่ายวัสดุด้วยอากาศ โดยศึกษาถึงผลของรูปร่างของชิ้นวัสดุที่มีต่อพฤติกรรมการขนถ่าย ทั้งนี้ ในงานวิจัยได้ทำการศึกษาการขนถ่ายของวัสดุ 3 ชนิด อันได้แก่ เมล็ดข้าวโพด เมล็ดถั่วเขียว และเม็ดพลาสติก ในลักษณะการไหลที่มีความหนาแน่นเฟสแบบเบาบาง (Dilute Phase) โดยใช้เครื่องทดสอบการขนถ่ายที่มีขนาดเส้นผ่าศูนย์กลางของท่อขนถ่าย 35 มิลลิเมตร และความยาวท่อขนถ่าย 20 เมตร โดยวัสดุที่ถูกขนถ่ายนั้นจะวิ่งวนเวียนอยู่ภายในท่อ จากการศึกษาวิเคราะห์หาความสัมพันธ์ของเทอมไร้มิติของการขนถ่ายร่วมกับชุดข้อมูลที่ได้จากการทดลองเพื่อศึกษาผลของรูปร่างของชิ้นส่วนที่มีต่อพฤติกรรมการขนถ่าย จะได้สมการซึ่งแสดงพฤติกรรมการขนถ่ายของชิ้นวัสดุด้วยอากาศ ดังนี้

$$\frac{\Delta P_c D}{\rho_s \bar{v}^2} = 0.184 - 0.000150 \frac{\rho_o}{\rho_s} - 0.0507 \frac{S\psi}{d_v D} + 590 / Re_s + 0.00225\phi$$

สมการดังกล่าวได้รวมถึงผลของรูปร่างของชิ้นวัสดุในรูปตัวประกอบรูปร่าง,  $\psi$ , ทำให้สมการมีศักยภาพในการคำนวณสำหรับชิ้นวัสดุต่างๆ ได้มากขึ้น ซึ่งเมื่อนำไปทดสอบกับวัสดุที่มีค่าตัวประกอบรูปร่าง 0.77 ซึ่งอยู่ในช่วงของค่าตัวประกอบรูปร่างของชุดข้อมูลที่ใช้สร้างสมการ (0.69-0.91) พบว่าค่าที่ได้จากสมการเบี่ยงเบนไปจากผลการทดลองสูงสุดเพียง 11% นอกจากนี้สมการที่ได้ยังพบว่าผลของค่าตัว

ประกอบรูปร่างต่อพฤติกรรมการขนถ่ายจะมากหรือน้อยขึ้นอยู่กับเส้นผ่าศูนย์กลางของท่อที่ใช้ในการขนถ่ายด้วย

### Abstract

This research is to study the behavior of particles with different shape factor in pneumatic conveying system. The research was done on 3 different particles, namely, corn seed, green bean seed and plastic palete in the dilute phase flow. The pneumatic conveying testing bench has a 35 mm. in diameter pipe and the pipe's length is 20 metre. The particles being tested were circulated inside the pipeline. The analysis shows that the relation between non-dimensional pneumatic conveying parameters and data received from experiment is as follow;

$$\frac{\Delta P_c D}{\rho_s \bar{v}^2} = 0.184 - 0.000150 \frac{\rho_o}{\rho_s} - 0.0507 \frac{S\psi}{d_v D} + 590 / Re + 0.00225\phi$$

This equation above includes the effect of particle's shape in term of shape factor,  $\psi$ . Therefore the equation is potentially useful for calculating with other types of particles. This equation is then verified with particle that has a shape factor of 0.77 which is in the range of shape factor value used in the experiment (0.69 - 0.91). The results show that the maximum deviation between the calculated values and those received from experiment is only 11%. Moreover, the equation also reveals that

the effect of shape factor on the pneumatic conveying behavior is depend on the diameter of conveying pipeline.

## 1. บทนำ

การออกแบบระบบการขนถ่ายวัสดุด้วยอากาศในปัจจุบันสามารถทำได้ 2 วิธีคือ

- การออกแบบโดยใช้ข้อมูลจากการทดลอง
- การออกแบบโดยใช้สมการทางคณิตศาสตร์

สำหรับการออกแบบโดยใช้สมการทางคณิตศาสตร์นั้น ในปัจจุบันไม่เป็นที่นิยมเท่าใดนักอันเนื่องมาจากความซับซ้อนของพฤติกรรมไหลของของผสมทำให้ยากที่จะหาสมการทางคณิตศาสตร์ที่มีความถูกต้องแม่นยำมาทำนายพฤติกรรมการไหลดังกล่าว ดังนั้นการออกแบบระบบการขนถ่ายวัสดุด้วยอากาศโดยใช้ผลจากการทดลองจึงมีความนิยมมากกว่า เนื่องจากมีความสะดวกและสามารถใช้กับวัสดุที่ต้องการได้ทันที อย่างไรก็ตามข้อมูลที่ได้จากการทดสอบกับวัสดุชนิดหนึ่งๆนั้น ยังไม่สามารถนำมาใช้กับวัสดุชนิดอื่นๆ เนื่องจากพฤติกรรมที่อาจจะแตกต่างกันอันเนื่องมาจากความแตกต่างกันของคุณสมบัติของวัสดุเองรวมไปถึงความแตกต่างของระบบการขนถ่ายที่จะถูกนำไปใช้งาน ดังนั้นถ้าสามารถทำการสร้างสมการที่สามารถนำไปใช้ในการขนถ่ายของวัสดุโดยทั่วไปแล้วก็จะสามารถทำให้การออกแบบนั้นเป็นไปได้โดยสะดวกมากยิ่งขึ้น

งานวิจัยนี้จะทำการศึกษาพฤติกรรมของการขนถ่ายที่แตกต่างกันอันเนื่องมาจากผลของรูปร่างของชิ้นวัสดุซึ่งสามารถแทนได้ด้วยค่าตัวประกอบรูปร่างของชิ้นวัสดุ การศึกษาดังกล่าวจะช่วยทำให้ทราบถึงอิทธิพลของรูปร่างที่มีผลต่อการขนถ่ายรวมทั้งสามารถสร้างสมการการขนถ่ายที่ครอบคลุมถึงวัสดุที่มีรูปร่างต่างๆ กัน ซึ่งจะช่วยให้การออกแบบระบบขนถ่ายกระทำได้สะดวกขึ้น

## 2. การทดลอง

### 2.1 ตัวแปรที่มีอิทธิพลต่อการขนถ่ายวัสดุด้วยอากาศ

การหาสมการที่จะนำมาใช้ในการทำนายพฤติกรรมการไหลร่วมกันระหว่างอากาศและชิ้นวัสดุที่เป็นของแข็ง ตลอดจนศึกษาอิทธิพลของรูปร่างของชิ้นวัสดุต่อพฤติกรรมการขนถ่ายสามารถกระทำได้จากทฤษฎีการวิเคราะห์หาความสัมพันธ์ของเทอมไร้มิติของการไหลของของผสม โดยที่ค่าความดันตกของระบบต่อหน่วยความยาวของท่อขนถ่ายในการขนถ่ายวัสดุด้วยอากาศจะเป็นฟังก์ชันของตัวพารามิเตอร์ต่างๆ ดังนี้

$$\Delta P_L = f(\rho_a, \rho_p, d_v, D, \bar{v}, \dot{G}, \mu) \quad [1]$$

โดย  $\Delta P_L$  = ความดันลดของระบบในการขนถ่ายชิ้นวัสดุต่อหน่วยความยาวของท่อ,  $N/m^3$

- $\rho_a$  = ความหนาแน่นของอากาศ,  $kg/m^3$
- $\rho_p$  = ความหนาแน่นของชิ้นวัสดุ,  $kg/m^3$
- $d_v$  = ขนาดเส้นผ่าศูนย์กลางของชิ้นวัสดุเมื่อเทียบกับทรงกลม,  $m$
- $D$  = ขนาดเส้นผ่าศูนย์กลางของท่อขนถ่าย,  $m$

- $\bar{v}$  = ความเร็วเฉลี่ยของอากาศ,  $m/s$
- $\dot{G}$  = อัตราการไหลเชิงมวลของวัสดุ,  $ton/hr$
- $\mu$  = ความหนืดไดนามิกของอากาศ (Dynamic viscosity),  $Ns/m^2$

ทั้งนี้โดยมีสมมติฐานของการไหลดังนี้

1. การไหลที่เกิดขึ้นนั้นเป็นการไหลคงตัว (Steady Flow)
2. การไหลที่เกิดขึ้นนั้นเป็นการไหลแบบสม่ำเสมอ (Uniform Flow)
3. การเปลี่ยนแปลงค่าความหนาแน่นของอากาศเนื่องจากคุณสมบัติการอัดตัวของอากาศนั้นสามารถละเลยได้
4. ขนาดของชิ้นวัสดุโดยรวมเฉลี่ยใกล้เคียงกัน

จากทฤษฎี Pi ของ Buckingham จะสามารถหาความสัมพันธ์ของเทอมต่างๆ ในรูปของเทอมไร้มิติได้ดังนี้

$$\frac{\Delta P_L D}{\rho_a \bar{v}^2} = f\left(\frac{\rho_p}{\rho_a}, \frac{d_v}{D}, \frac{\mu}{\rho_a \bar{v} D}, \frac{\dot{G}}{\rho_a \bar{v} D^2}\right)$$

เนื่องจากเทอม  $\frac{\dot{G}}{\rho_a \bar{v} D^2} = \frac{4\pi \dot{G}}{4\pi \rho_a \bar{v} D^2}$  คือค่าความหนาแน่น

เฟส.  $\phi$ . โดย ความหนาแน่นเฟส =  $\frac{\text{อัตราการไหลเชิงมวลของวัสดุ}}{\text{อัตราการไหลเชิงมวลของอากาศ}}$

และเทอม  $\frac{\mu}{\rho_a \bar{v} D}$  สามารถแทนได้ด้วยค่าส่วนกลับของตัวเลขเรย์โนลด์

ของอากาศ ( $1/Re_a$ ) ดังนั้นจะได้ว่า

$$\frac{\Delta P_L D}{\rho_a \bar{v}^2} = f\left(\frac{\rho_p}{\rho_a}, \frac{d_v}{D}, \frac{1}{Re_a}, \phi\right) \quad [2]$$

สำหรับเทอม  $\frac{d_v}{D}$  นั้นสามารถแทนได้ด้วยเทอม  $\frac{S\psi}{d_v D}$  เมื่อ  $\psi$

คือ ค่าตัวประกอบรูปร่างของชิ้นวัสดุ (Shape Factor) =  $\frac{\pi d_v^2}{S}$  โดย  $S$  คือ พื้นที่ผิวของชิ้นวัสดุ

ดังนั้นความสัมพันธ์ในรูปเทอมไร้มิติสำหรับการขนถ่ายวัสดุด้วยอากาศ สามารถเขียนได้ดังนี้

$$\frac{\Delta P_L D}{\rho_a \bar{v}^2} = f\left(\frac{\rho_p}{\rho_a}, \frac{S\psi}{d_v D}, \frac{1}{Re_a}, \phi\right) \quad [3]$$

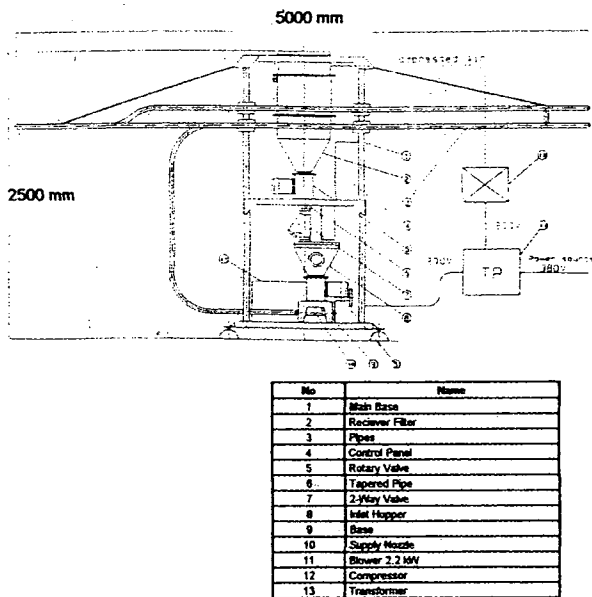
### 2.2 การทดลองเพื่อเก็บข้อมูลสำหรับการสร้างสมการ

เพื่อทำการสร้างสมการขึ้นจากความสัมพันธ์ข้างต้นนี้ จึงต้องมีกรทดลองเก็บข้อมูล ซึ่งในที่นี้ได้เลือกวัสดุ 3 ชนิดมาทำการทดลองดังแสดงไว้ในตารางที่ 1

ตารางที่ 1  
คุณสมบัติของวัสดุที่นำมาทดลองเก็บข้อมูล

วัสดุ	ความหนา	ขนาดเส้นผ่า	ค่าตัวประกอบรูป
	แน่น kg/m <sup>3</sup>	ศูนย์กลาง เทียบเท่า m	
เม็ดข้าวโพด	1183.84	0.00771	0.91
เม็ดถั่วเขียว	1313.40	0.00457	0.85
เม็ดพลาสติก	1350	0.00288	0.69

การเลือกวัสดุทั้ง 3 ชนิดดังกล่าวมาทำการทดสอบนั้นเนื่องมาจากวัสดุทั้ง 3 ชนิดที่นำมาทดสอบมีลักษณะรูปร่างที่แตกต่างกันค่อนข้างชัดเจน โดยที่เม็ดข้าวโพดนั้นจะมีรูปร่างคล้ายสามเหลี่ยมที่มีความหนา เม็ดถั่วเขียวมีรูปร่างคล้ายทรงรี ส่วนเม็ดพลาสติกมีรูปร่างเป็นทรงกลมแบน ทำให้ได้ค่าตัวประกอบรูปร่างที่แตกต่างกัน อันเป็นปัจจัยที่นำมาพิจารณาถึงอิทธิพลของค่าตัวประกอบรูปร่างต่อพฤติกรรมการชนถ่าย นอกจากนี้วัสดุทั้ง 3 ชนิดนี้ยังเป็นวัสดุที่มีความสำคัญทางเศรษฐกิจ สำหรับการทดลองนี้ได้จัดทำขึ้นโดยใช้ชุดทดสอบที่มีขนาดเส้นผ่าศูนย์กลางของท่อชนถ่าย 35 มิลลิเมตรและความยาวของแนวชนถ่าย 20 เมตรดังที่แสดงในรูปที่ 1



รูปที่ 1 แสดงชุดทดสอบและแนวท่อชนถ่ายยาว 20 เมตร

ในการทดลอง เม็ดพลาสติก เม็ดข้าวโพด และเม็ดถั่วเขียวจะถูกชนถ่ายผ่านไปยังระบบท่อโดยใช้แรงดันที่เกิดจากพัดลม จากนั้นวัสดุจะถูกแยกออกจากอากาศที่ถักแยกซึ่งติดตั้งไว้ที่ด้านบนของตัวพัดลม โดยที่ค่าอัตราการไหลเชิงมวลของวัสดุจะถูกควบคุมโดยโรตารีวาล์ว ในการทดลองแต่ละครั้ง จะทำการจ่ายวัสดุที่อัตราการไหลเชิงมวลคงที่ จากนั้นจึงทำการปรับอัตราการไหลของอากาศให้มีค่าลดลงเพื่อเปลี่ยนแปลงค่าความหนาแน่นเฟส โดยทำการทดลองที่ช่วงของค่าตัวเลขเรย์โนลด์ของอากาศอยู่ระหว่าง  $2.9 \times 10^4 - 6.0 \times 10^4$  ค่าความ

ดันลดในระบบจะถูกบันทึกไว้เพื่อนำมาใช้สร้างสมการความสัมพันธ์ในสมการ (3) โดยอาศัยการวิเคราะห์แบบลดถอยหลายตัวแปร

### 3. ผลการทดลอง

โดยการวิเคราะห์แบบลดถอยหลายตัวแปรแบบเชิงเส้นของข้อมูลที่ได้จากการทดลอง ตามความสัมพันธ์ในสมการ (3) จะได้สมการที่แสดงพฤติกรรมการชนถ่ายของชิ้นวัสดุดังนี้

$$\frac{\Delta p_{LD}}{\rho_a v^2} = 0.184 - 0.000150 \frac{\rho_p}{\rho_a} - 0.0507 \frac{S\psi}{d_v D} + 590 / Re_a + 0.00225\phi \quad [4]$$

สมการดังกล่าวนี้ให้ค่าสัมประสิทธิ์ของการตัดสินใจสูงถึง 96.1 % ดังนั้น จะเห็นได้ว่าการใช้สมการแบบเชิงเส้นนั้นมีความเหมาะสมเนื่องจากให้ค่าสัมประสิทธิ์ของการตัดสินใจที่สูงมาก

สมการ (4) สามารถนำไปใช้เพื่อคำนวณหาค่าความดันลดที่เกิดขึ้นในระบบท่อเมื่อทราบคุณสมบัติของวัสดุไม่ว่าจะเป็นขนาดของวัสดุ ความหนาแน่น และค่าตัวประกอบรูปร่าง รวมไปถึงค่าอัตราการไหลของทั้งอากาศและวัสดุที่ต้องการในการชนถ่าย

### 4. การตรวจสอบสมการ

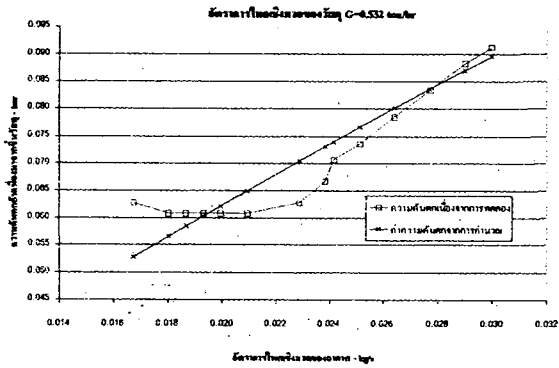
การตรวจสอบความแม่นยำของสมการ (4) กระทำโดยทำการทดลองการชนถ่ายเม็ดถั่วเขียวผ่าซีกและเม็ดข้าวเปลือกเพื่อเก็บข้อมูลจากการทดลองมาตรวจสอบกับค่าที่ได้จากการคำนวณโดยสมการดังกล่าว โดยวัสดุทั้งสองชนิดมีคุณสมบัติต่างๆดังแสดงในตารางที่ 2

ตารางที่ 2  
แสดงคุณสมบัติของวัสดุที่นำมาทดลองเพื่อทดสอบสมการ 4

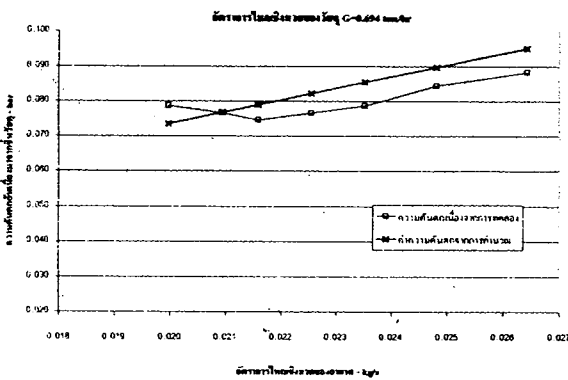
วัสดุ	ความหนาแน่น kg/m <sup>3</sup>	ขนาดเส้นผ่าศูนย์กลาง เทียบเท่า m	ค่าตัวประกอบรูปร่าง (ψ, Shape Factor)
เม็ดถั่วเขียวผ่าซีก	1313.40	0.00363	0.77
เม็ดข้าวเปลือก	1183.80	0.00342	0.46

จากการทดสอบสมการพบว่าค่าที่ได้จากการทำนายโดยใช้สมการนั้นให้ผลที่ใกล้เคียงกับค่าที่ได้จากการทดลองมากสำหรับการทดลองการชนถ่ายของเม็ดถั่วเขียวผ่าซีก (รูปที่ 2 - 6) โดยจะมีความแตกต่างสูงสุด 11% ในการทดลองที่ค่าอัตราการไหลเชิงมวลของวัสดุ  $G = 1.432 \text{ ton/hr}$  ดังที่แสดงในรูปที่ 7 ซึ่งในกราฟดังกล่าวเป็นการแสดงความสัมพันธ์ระหว่างค่าความดันลดอันเนื่องมาจากชิ้นวัสดุและค่าอัตราการไหลเชิงมวลของอากาศที่ค่าอัตราการไหลเชิงมวลของวัสดุต่าง ๆ แต่เมื่อทำการทดลองกับเม็ดข้าวเปลือก (รูปที่ 8-12) ค่าที่ได้จากการทำนายโดยอาศัยสมการ (4) กลับให้ค่าที่สูงกว่าค่าที่ได้จากการทดลองจริงมากโดยให้ค่าความแตกต่างสูงสุดถึง 49% ในการทดลองการชนถ่ายที่ค่าอัตราการไหลเชิงมวลของวัสดุ 0.438 ton/hr ดังที่แสดงในรูปที่

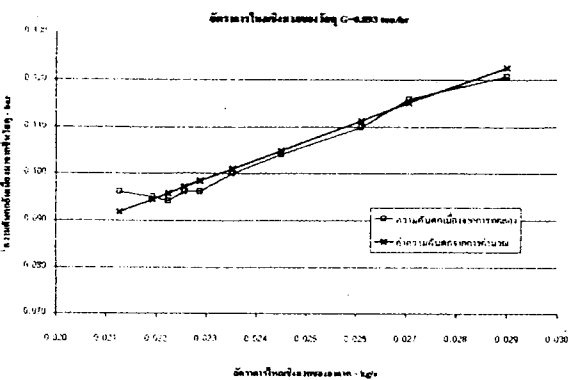
8 ความคลาดเคลื่อนจากสมการในการทดลองการขนถ่ายของเม็ดคั่วเปลือกนั้นอาจเกิดเนื่องมาจากคุณสมบัติของเม็ดคั่วเปลือกอันได้แก่ค่าตัวประกอบรูปร่างซึ่งค่อนข้างจะแตกต่างกันไปมากจากชุดข้อมูลที่ได้จากการทดสอบ



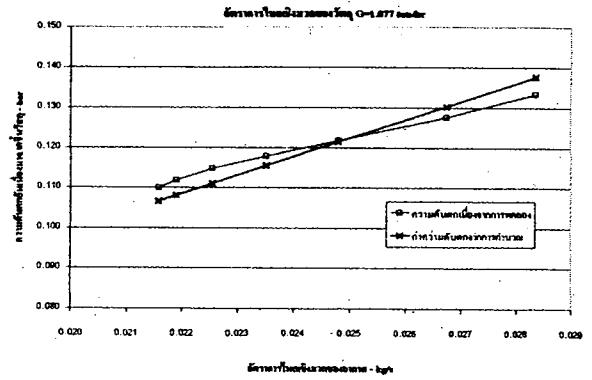
รูปที่ 2 แสดงกราฟเปรียบเทียบระหว่างผลที่ได้จากการทดลองจริงของการขนถ่ายของเม็ดคั่วเปลือกและค่าที่ได้จากการคำนวณโดยใช้สมการ (4) ที่ค่าอัตราการไหลเชิงมวลของวัสดุ 0.532 ตันต่อชั่วโมง



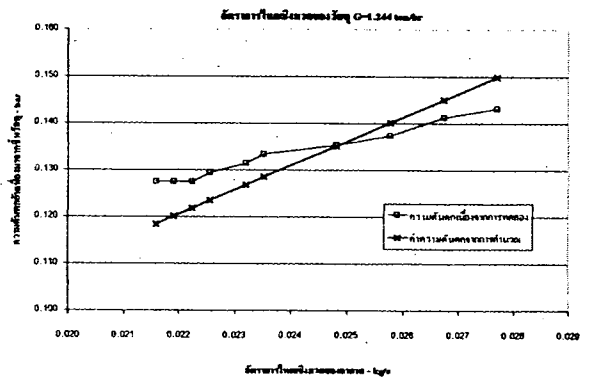
รูปที่ 3 แสดงกราฟเปรียบเทียบระหว่างผลที่ได้จากการทดลองจริงของการขนถ่ายของเม็ดคั่วเปลือกและค่าที่ได้จากการคำนวณโดยใช้สมการ (4) ที่ค่าอัตราการไหลเชิงมวลของวัสดุ 0.694 ตันต่อชั่วโมง



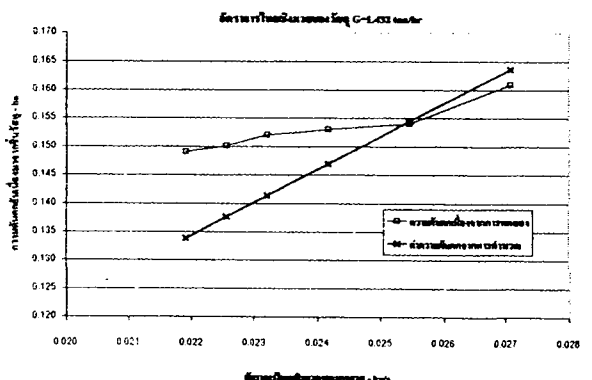
รูปที่ 4 แสดงกราฟเปรียบเทียบระหว่างผลที่ได้จากการทดลองจริงของการขนถ่ายของเม็ดคั่วเปลือกและค่าที่ได้จากการคำนวณโดยใช้สมการ (4) ที่ค่าอัตราการไหลเชิงมวลของวัสดุ 0.893 ตันต่อชั่วโมง



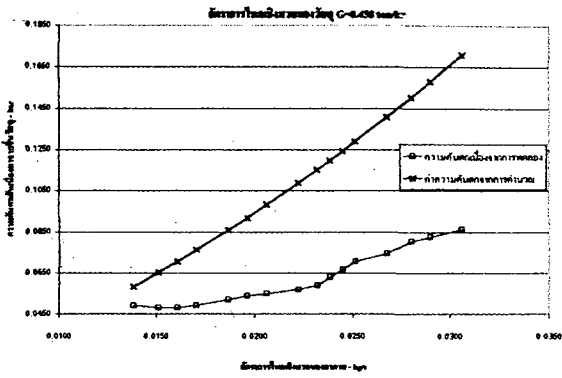
รูปที่ 5 แสดงกราฟเปรียบเทียบระหว่างผลที่ได้จากการทดลองจริงของการขนถ่ายของเม็ดคั่วเปลือกและค่าที่ได้จากการคำนวณโดยใช้สมการ (4) ที่ค่าอัตราการไหลเชิงมวลของวัสดุ 0.1077 ตันต่อชั่วโมง



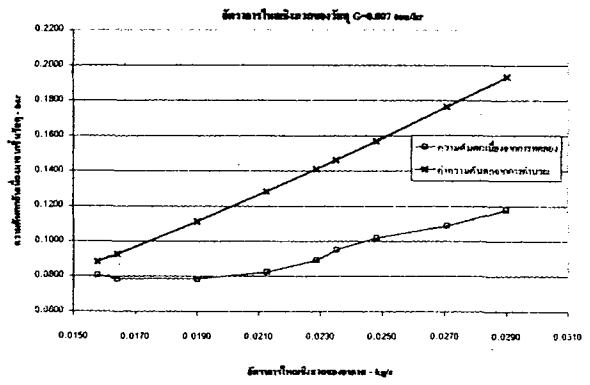
รูปที่ 6 แสดงกราฟเปรียบเทียบระหว่างผลที่ได้จากการทดลองจริงของการขนถ่ายของเม็ดคั่วเปลือกและค่าที่ได้จากการคำนวณโดยใช้สมการ (4) ที่ค่าอัตราการไหลเชิงมวลของวัสดุ 1.244 ตันต่อชั่วโมง



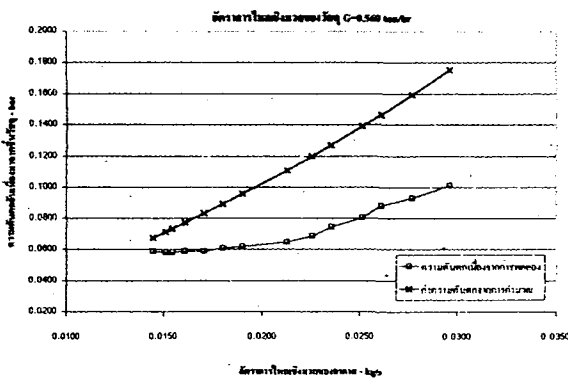
รูปที่ 7 แสดงกราฟเปรียบเทียบระหว่างผลที่ได้จากการทดลองจริงของการขนถ่ายของเม็ดคั่วเปลือกและค่าที่ได้จากการคำนวณโดยใช้สมการ (4) ที่ค่าอัตราการไหลเชิงมวลของวัสดุ 1.432 ตันต่อชั่วโมง



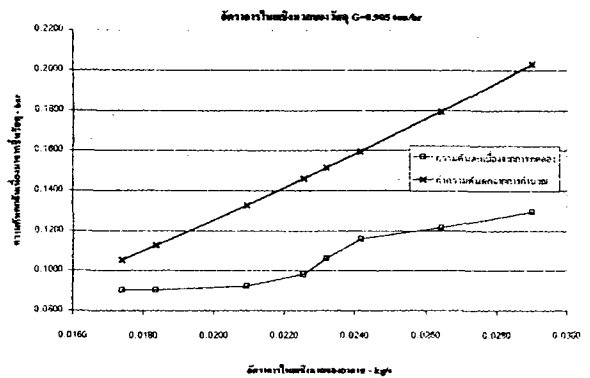
รูปที่ 8 แสดงกราฟเปรียบเทียบระหว่างผลที่ได้จากการทดลองจริงของการขนถ่ายของเมล็ดข้าวเปลือกและค่าที่ได้จากการคำนวณโดยใช้สมการ 4 ที่ค่าอัตราการไหลเชิงมวลของวัสดุ 0.438 ตันต่อชั่วโมง



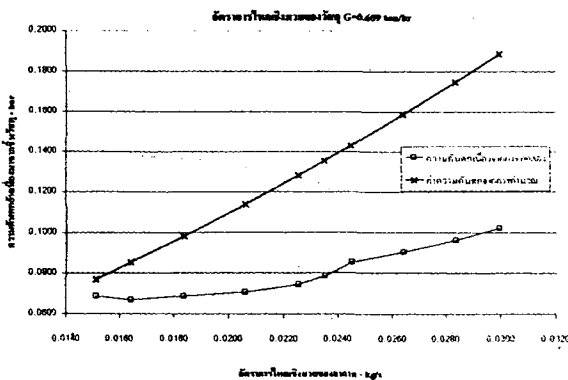
รูปที่ 11 แสดงกราฟเปรียบเทียบระหว่างผลที่ได้จากการทดลองจริงของการขนถ่ายของเมล็ดข้าวเปลือกและค่าที่ได้จากการคำนวณโดยใช้สมการ 4 ที่ค่าอัตราการไหลเชิงมวลของวัสดุ 0.807 ตันต่อชั่วโมง



รูปที่ 9 แสดงกราฟเปรียบเทียบระหว่างผลที่ได้จากการทดลองจริงของการขนถ่ายของเมล็ดข้าวเปลือกและค่าที่ได้จากการคำนวณโดยใช้สมการ 4 ที่ค่าอัตราการไหลเชิงมวลของวัสดุ 0.560 ตันต่อชั่วโมง



รูปที่ 12 แสดงกราฟเปรียบเทียบระหว่างผลที่ได้จากการทดลองจริงของการขนถ่ายของเมล็ดข้าวเปลือกและค่าที่ได้จากการคำนวณโดยใช้สมการ 4 ที่ค่าอัตราการไหลเชิงมวลของวัสดุ 0.905 ตันต่อชั่วโมง



รูปที่ 10 แสดงกราฟเปรียบเทียบระหว่างผลที่ได้จากการทดลองจริงของการขนถ่ายของเมล็ดข้าวเปลือกและค่าที่ได้จากการคำนวณโดยใช้สมการ 4 ที่ค่าอัตราการไหลเชิงมวลของวัสดุ 0.609 ตันต่อชั่วโมง

### 5. การวิเคราะห์สมการ

จากผลของการตรวจสอบสมการ (4) ดังที่กล่าวมาจะได้ว่าสมการดังกล่าวจะสามารถให้ผลที่น่าเชื่อถือในช่วงของค่าตัวประกอบรูปร่างช่วงหนึ่งที่มีค่า 0.69 – 0.91 โดยจะเห็นได้จากการทดสอบสมการโดยการทดลองกับเมล็ดข้าวเปลือกที่มีค่าตัวประกอบรูปร่าง 0.77 ผลที่ได้จากการทดลองจริงมีค่าใกล้เคียงกับค่าที่ได้จากการทำนายโดยสมการ (4) ส่วนในการทดลองกับเมล็ดข้าวเปลือกซึ่งมีค่าตัวประกอบรูปร่าง 0.46 ผลที่แตกต่างจากค่าที่ได้จากการทำนายโดยสมการ (4) นั้นน่าจะเป็นผลที่เกิดจากความแตกต่างของค่าตัวประกอบรูปร่างของเมล็ดข้าวเปลือกซึ่งไม่ได้อยู่ในช่วงที่สมการสามารถให้ผลที่แม่นยำได้

นอกจากนี้จากสมการจะเห็นได้ว่าตัวแปรที่จะส่งผลต่อพฤติกรรมของการขนถ่ายซึ่งในที่นี้แทนด้วยค่าความดันผลได้แก่

- ค่าสัดส่วนระหว่างค่าความหนาแน่นของชั้นวัสดุและค่าความหนาแน่นของอากาศ

เมื่อค่าสัดส่วนระหว่างค่าความหนาแน่นของชั้นวัสดุและค่าความหนาแน่นของอากาศมีค่าเพิ่มขึ้นจะทำให้เทอมด้านซ้ายมือของสมการมีค่าลดลงเนื่องจากเทอมของค่าสัดส่วนระหว่างค่าความหนาแน่นของชั้น

วัสดุและค่าความหนาแน่นของอากาศนั้นมีเครื่องหมายลบ ซึ่งถ้าพิจารณาว่าค่าความหนาแน่นของอากาศมีค่าก่อนข้างคงที่ จะเห็นได้ว่าเมื่อค่าความหนาแน่นของชั้นวัสดุมีค่าเพิ่มขึ้นจะส่งผลให้ค่าความดันลดที่ติดอยู่ในเทอมด้านซ้ายมือของสมการมีค่าลดลงไปด้วย

▪ **ค่าตัวประกอบรูปร่าง**

จากเทอมที่สามด้านขวามือของสมการ 4 ( $S\Psi/d_v D$ ) พบว่าการเพิ่มขึ้นของเทอมดังกล่าวนี้เป็นผลให้ค่าความดันตกที่อยู่ในเทอมด้านซ้ายมือของสมการมีค่าลดลง เมื่อพิจารณาเทอมดังกล่าวจะเห็นได้ว่าค่าสัดส่วนระหว่าง  $S$  และ  $d_v$  มีค่าน้อยหรือกล่าวได้ว่า

$$\frac{S\Psi}{d_v D} = f(\Psi, D) \quad [5]$$

จากสมการ (5) จะเห็นได้ว่าค่าตัวประกอบรูปร่าง ( $\Psi$ ) จะมีค่าสูงสุดคือ 1 ดังนั้นค่าขนาดของท่อจึงน่าจะมีอิทธิพลต่อเทอมดังกล่าวมากกว่า อย่างไรก็ตามการที่เทอมดังกล่าวแสดงถึงความเกี่ยวพันกันระหว่างค่าตัวประกอบรูปร่างและขนาดเส้นผ่าศูนย์กลางของท่อทำให้ผลของตัวแปรทั้งสองน่าจะมีผลกระทบซึ่งกันและกัน กล่าวคือจากการทดลองกับเม็ดสีขาวเปลือก เราสังเกตพบความคลาดเคลื่อนของผลที่ได้จากการทดลองกับค่าที่ได้จากการใช้สมการ (4) ซึ่งจากการวิเคราะห์ความคลาดเคลื่อนดังกล่าวพบว่าค่าตัวประกอบรูปร่างของเม็ดสีขาวเปลือกนั้นอยู่ที่ 0.46 ในขณะที่ค่าตัวประกอบรูปร่างของวัสดุที่นำมาทดลองจะอยู่ที่ช่วงระหว่าง 0.69 – 0.91 ดังนั้นความคลาดเคลื่อนที่ได้น่าจะเป็นผลที่มาจากข้อขัดแย้งของอิทธิพลของตัวประกอบรูปร่างเนื่องจากการได้ทำการทดลองที่ขนาดของท่อขนถ่ายเดียวกัน และเมื่อนำมาพิจารณาพร้อมกับเทอม  $S\Psi/d_v D$  ซึ่งเกี่ยวพันกับขนาดเส้นผ่าศูนย์กลางของท่อ จึงน่าจะเป็นไปได้ว่าค่าตัวประกอบรูปร่างซึ่งเดิมเข้าใจว่าจะมีผลกระทบโดยตรงกับค่าความดันลดยิ่งขึ้นจะขึ้นอยู่กับขนาดเส้นผ่าศูนย์กลางของท่อขนถ่ายด้วยกล่าวคือ หากเราสามารถเลือกใช้ขนาดของเส้นผ่าศูนย์กลางของท่อขนถ่ายให้เหมาะสมกับค่าตัวประกอบรูปร่างค่าหนึ่งน่าจะส่งผลให้ค่าความดันลดในระบบนั้นมีค่าลดลงได้ หรืออีกนัยหนึ่งก็คือหากเราทราบผลกระทบระหว่างตัวประกอบรูปร่างและเส้นผ่าศูนย์กลางของท่ออย่างชัดเจน จะสามารถสร้างสมการที่ทำนายค่าความดันลดได้อย่างแม่นยำมากยิ่งขึ้น

▪ **ค่าตัวเลขเรย์โนลด์ของอากาศ**

จากเทอมของค่าตัวเลขเรย์โนลด์ของอากาศจะเห็นว่า เมื่อค่าตัวเลขเรย์โนลด์ของอากาศมีค่าเพิ่มขึ้นจะทำให้เทอม  $590/Re_0$  มีค่าลดลง ส่งผลให้เทอมด้านซ้ายมือของสมการมีค่าลดลง หรือค่าความดันลดมีค่าลดลงนั่นเอง

▪ **ค่าความหนาแน่นเฟส**

จากสมการ (4) เห็นได้ว่าเมื่อค่าความหนาแน่นเฟสเพิ่มขึ้นจะส่งผลให้เทอม  $0.00225\phi$  มีค่าเพิ่มขึ้น อันจะส่งผลให้เทอมด้านซ้ายมือของสมการมีค่าเพิ่มขึ้น หรือค่าความดันลดมีค่าสูงขึ้นนั่นเอง ผลดังกล่าวนี้ตรงกับพฤติกรรมของการไหลของของผสม โดยเมื่อค่าความหนาแน่นเฟสสูงขึ้นนั้น จะเป็นผลให้ปริมาณของชั้นวัสดุที่อยู่ในระบบการขนถ่ายมีค่าเพิ่มขึ้น ซึ่งเป็นผลให้อากาศต้องเอาชนะค่าแรงต้านที่

เกิดมาจากชั้นวัสดุที่เพิ่มมากขึ้น อันจะเป็นผลให้ค่าความดันลดของอากาศในการไหลมีค่าเพิ่มขึ้น

**6. สรุปผลการศึกษา**

จากการศึกษาทำให้ได้สมการซึ่งสามารถนำมาใช้เพื่อการทำนายค่าความดันลดของระบบการขนถ่ายของชั้นวัสดุด้วยอากาศเมื่อทราบค่าต่างๆ อันได้แก่ ค่าอัตราการไหลเชิงมวลของอากาศ ค่าอัตราการไหลเชิงมวลของชั้นวัสดุและคุณสมบัติของชั้นวัสดุ โดยสมการดังกล่าวจะมีความแม่นยำเมื่อใช้กับการขนถ่ายของวัสดุที่มีค่าตัวประกอบรูปร่างอยู่ในช่วงที่ทำการศึกษาทดลองเก็บข้อมูล แต่ถ้าจะนำไปใช้กับวัสดุที่มีคุณสมบัติแตกต่างไปจากวัสดุที่ได้ทำการทดสอบหรือมีค่าตัวประกอบรูปร่างอยู่นอกเหนือจากช่วงดังกล่าวค่อนข้างมากแล้ว จะต้องใช้ความระมัดระวังในการใช้สมการดังกล่าวนี้ นอกจากนี้จากสมการดังกล่าวจะเห็นได้ว่าค่าตัวประกอบรูปร่างมีอิทธิพลต่อพฤติกรรมการขนถ่าย แต่ผลของค่าตัวประกอบรูปร่างที่มีต่อพฤติกรรมการขนถ่ายจะมากหรือน้อยนั้นจะขึ้นอยู่กับขนาดของท่อที่ใช้ขนถ่ายด้วย ดังนั้นหากทราบผลกระทบร่วมกันระหว่างพารามิเตอร์ทั้งสองที่มีต่อพฤติกรรมการขนถ่ายได้ชัดเจนยิ่งขึ้น น่าจะทำให้สามารถสร้างสมการที่ใช้ในการทำนายพฤติกรรมการขนถ่ายได้อย่างถูกต้องแม่นยำยิ่งขึ้นและนำไปสู่การสร้างสมการที่เอนกประสงค์ กล่าวคือสามารถใช้ทำนายพฤติกรรมการขนถ่ายวัสดุด้วยอากาศสำหรับวัสดุที่หลากหลายได้

**7. รายการอ้างอิง**

1. ชัชชัย ชรินพานิชกุล และ วิวัฒน์ คันทะพานิชกุล. Experimental Study of Pneumatic Conveying of Polyethylene Powder. จุฬาลงกรณ์มหาวิทยาลัย. (ม.ป.ป.).
2. R.D.Marcus, L.S.Leung, G.E.Klinzing and F.Rizk. Pneumatic Conveying of Solids. Great Britain: Chapman and Hall, 1990.
3. David Mills. Pneumatic Conveying Design Guide. Great Britain: Butterworths, 1990.
4. G.W.Govier and K.Aziz. The Flow of Complex Mixtures in Pipes. New York: Van Nostrand Reinhold, 1972.
5. H.A. Stroess, Jr., P.E. Pneumatic Conveying. Second Edition. United States of America: John Wiley & Sons, 1983.
6. Milton N. Kraus. Pneumatic Conveying of Bulk Materials. New York: The Ronald Press, 1968.
7. ยุทธนา ทรงเงินดี. การศึกษาผลของรูปร่างของชั้นวัสดุต่อการขนถ่ายด้วยอากาศ. วิทยานิพนธ์ ปริญญาโท. ภาควิชาวิศวกรรมเครื่องกล. จุฬาลงกรณ์มหาวิทยาลัย. 2542